

# Using Freefem to follow branches of solutions of nonlinear elliptic problems and decide about symmetry regions.

Maria J. Esteban

CEREMADE

CNRS & Université Paris-Dauphine

EN COLLABORATION AVEC

J. DOLBEAULT

<http://www.ceremade.dauphine.fr/~esteban/>

# Inégalités généralisées de Caffarelli-Kohn-Nirenberg inequalities (CKN)

Soit  $d \geq 3$ . Pour tout  $p \in [2, p(\theta, d) := \frac{2d}{d-2\theta}]$ , il existe une constante positive  $C(\theta, p, a)$  telle que

$$\left( \int_{\mathbb{R}^d} \frac{|u|^p}{|x|^{bp}} dx \right)^{\frac{2}{p}} \leq C(\theta, p, a) \left( \int_{\mathbb{R}^d} \frac{|\nabla u|^2}{|x|^{2a}} dx \right)^{\theta} \left( \int_{\mathbb{R}^d} \frac{|u|^2}{|x|^{2(a+1)}} dx \right)^{1-\theta}$$

Dans le cas radial, avec  $\Lambda = (a - a_c)^2$ , la meilleure constante radiale est  $C_{\text{CKN}}^*(\theta, p, a)$  and (see [Del Pino, Dolbeault, Filippas, Tertikas]):

$$C_{\text{CKN}}(\theta, p, a) \geq C_{\text{CKN}}^*(\theta, p, a) = C_{\text{CKN}}^*(\theta, p) \Lambda^{\frac{p-2}{2p} - \theta}$$

$$C_{\text{CKN}}^*(\theta, p) = \left[ \frac{2\pi^{d/2}}{\Gamma(d/2)} \right]^2 \frac{p-1}{p} \left[ \frac{(p-2)^2}{2+(2\theta-1)p} \right]^{\frac{p-2}{2p}} \left[ \frac{2+(2\theta-1)p}{2p\theta} \right]^{\theta} \left[ \frac{4}{p+2} \right]^{\frac{6-p}{2p}} \left[ \frac{\Gamma\left(\frac{2}{p-2} + \frac{1}{2}\right)}{\sqrt{\pi} \Gamma\left(\frac{2}{p-2}\right)} \right]^{\frac{p-2}{p}}$$

# Transformation d'Emden-Fowler et le cylindre $\mathcal{C} = \mathbb{R} \times S^{d-1}$

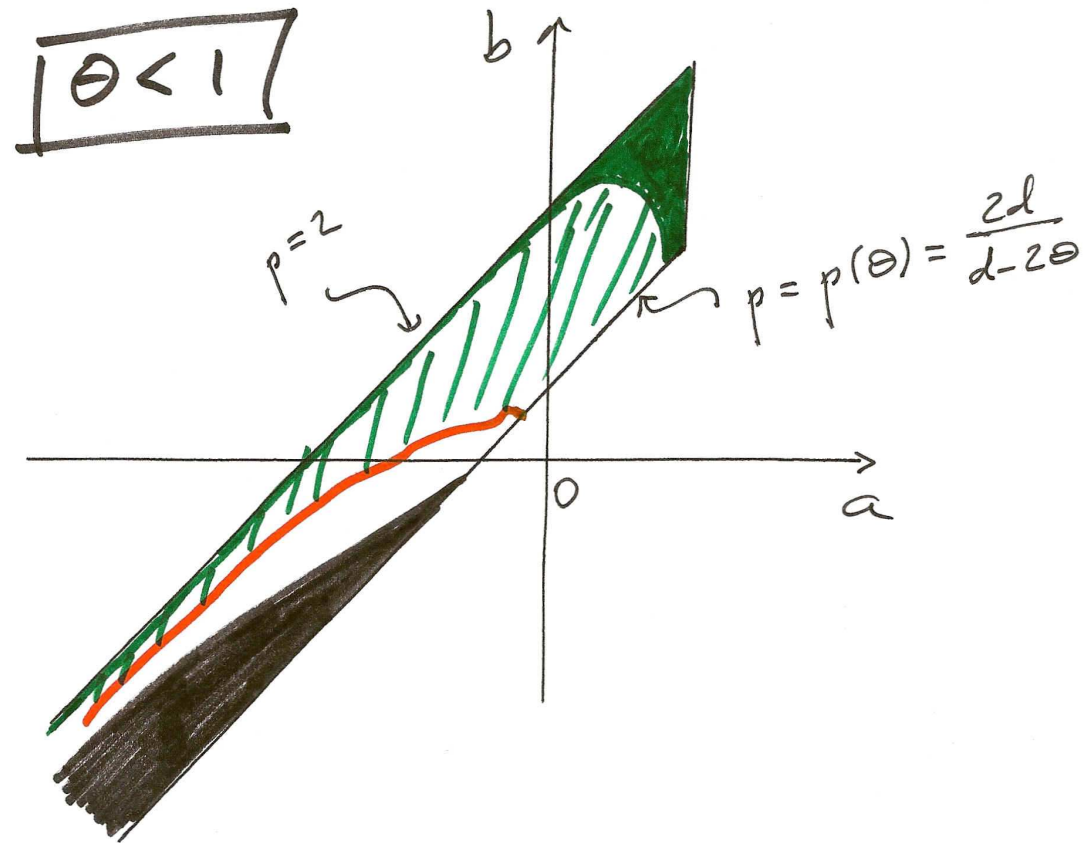
$$t = \log |x|, \quad \theta = \frac{x}{|x|} \in S^{d-1}, \quad v(t, \theta) = |x|^{-a} u(x), \quad \Lambda = \frac{1}{4} (d - 2 - 2a)^2$$

- Les inégalités de Caffarelli-Kohn-Nirenberg re-écrites dans le cylindre deviennent des inégalités d'interpolation du type Gagliardo-Nirenberg

$$\|w\|_{L^p(\mathcal{C})}^2 \leq C_{\Lambda, p, \theta} \left( \|\nabla v\|_{L^2(\mathcal{C})}^2 + \Lambda \|v\|_{L^2(\mathcal{C})}^2 \right)^\theta \|v\|_{L^2(\mathcal{C})}^{2(1-\theta)}$$

$$\frac{1}{C_{\Lambda, p, \theta}} = \inf \frac{\left( \|\nabla v\|_{L^2(\mathcal{C})}^2 + \Lambda \|v\|_{L^2(\mathcal{C})}^2 \right)^\theta \|v\|_{L^2(\mathcal{C})}^{2(1-\theta)}}{\|v\|_{L^p(\mathcal{C})}^{2/p}}$$

# Symétrie et rupture de symétrie pour $\theta \in (0, 1)$



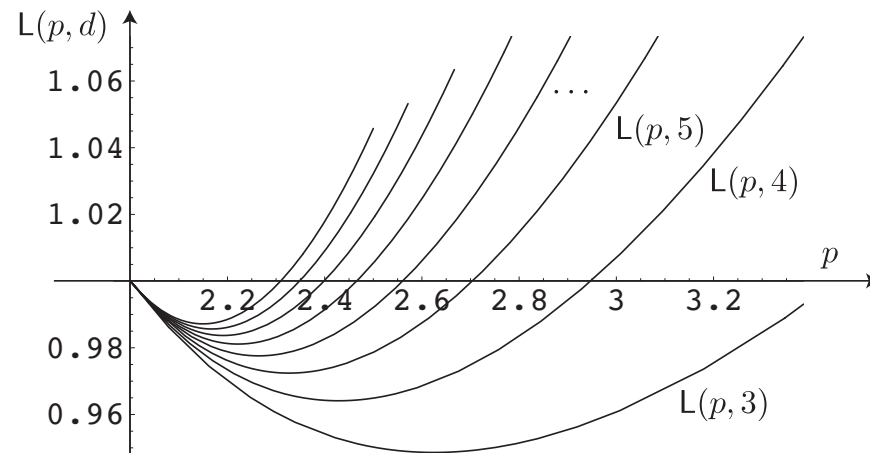
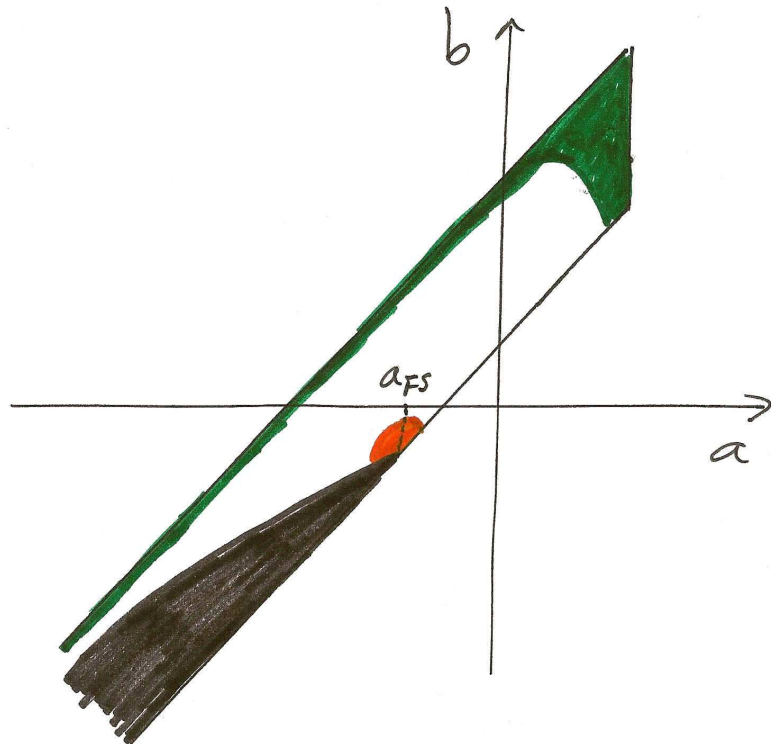
# Un nouveau résultat de rupture de symétrie (2010, Dolbeault, E., Tarantello, T.)

Soit  $g(x) := (2\pi)^{-d/4} \exp(-|x|^2/4)$ . Choisissons  $\Lambda = \Lambda_{FS}(p(\theta, d), d)$

Il y a rupture de symétrie si

$$L(p, d) := \frac{\mathcal{E}_{GN}[g]}{\frac{1}{C_{CKN}^*(\vartheta(p, d), p, \Lambda)}} < 1$$

Nous avons le résultat suivant :



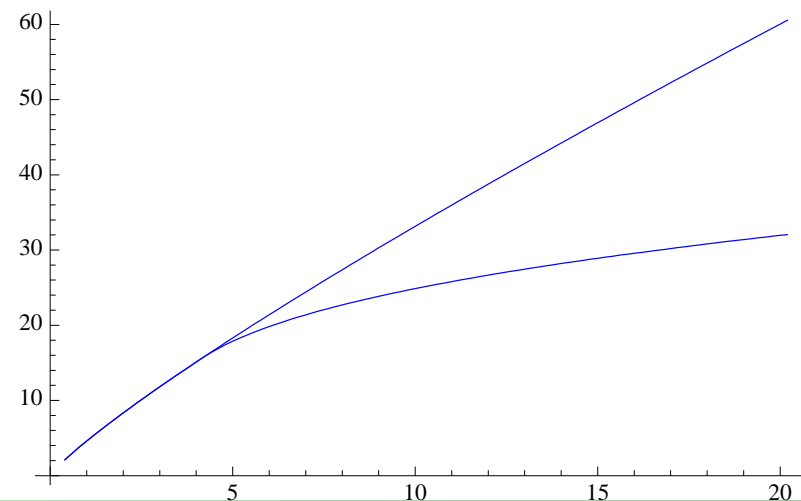
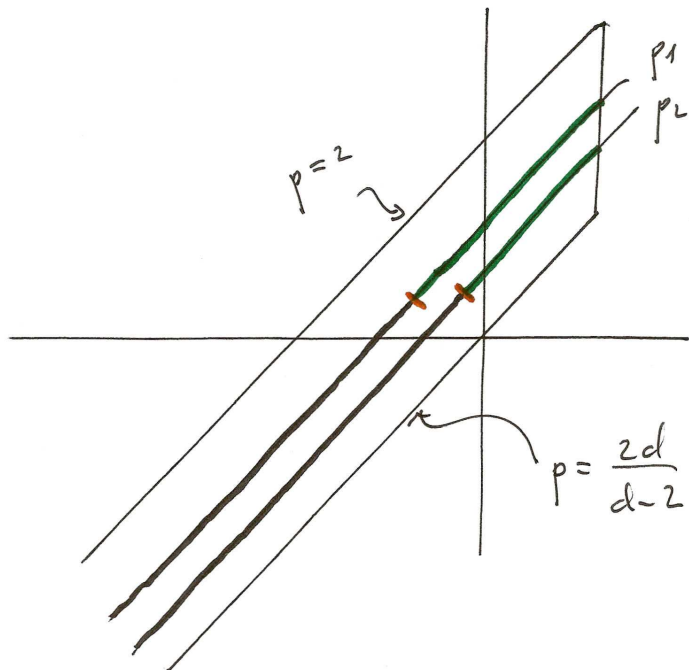
# Branches pour les équations d'Euler-Lagrange

$$-\Delta v + \left( \frac{1-\theta}{\theta} t[v] + \Lambda \right) v = \kappa v^{p-2} v .$$

avec  $t[v] := \frac{\|\nabla v\|_{L^2(\mathcal{C})}^2}{\|v\|_{L^2(\mathcal{C})}^2} .$

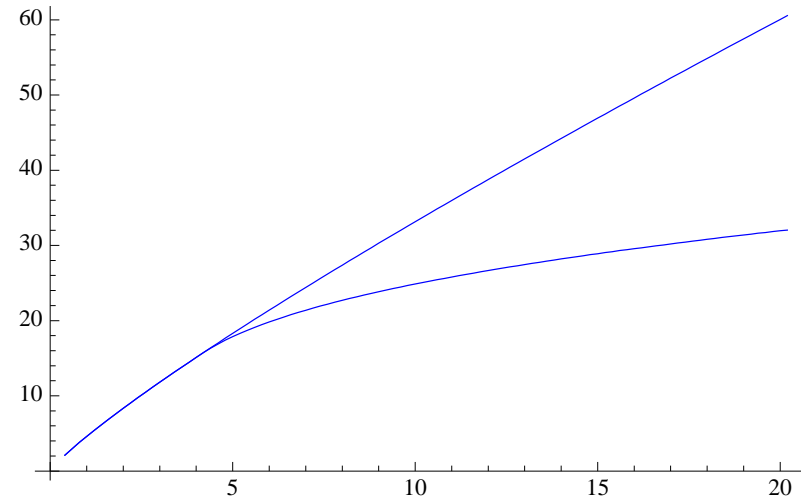
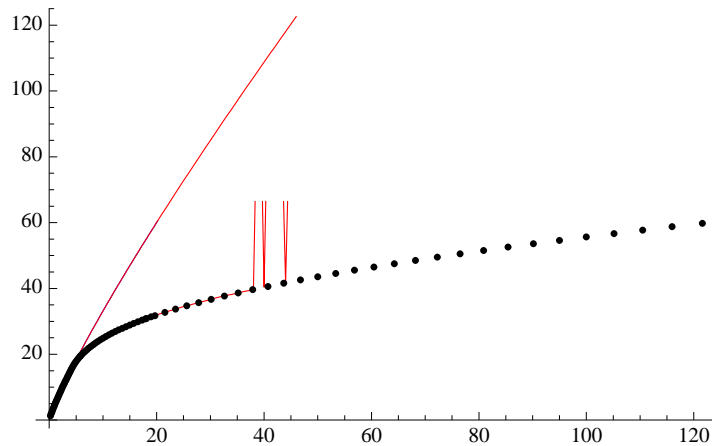
$$-\Delta v + \mu v = \kappa v^{p-2} v .$$

avec  $\mu = \frac{1-\theta}{\theta} t[v] + \Lambda .$



# Calculs pour $\theta = 1$ - I

$$-\Delta v + \mu v = \kappa v^{p-2} v \quad \text{ou} \quad -\Delta v + \mu v = \tilde{\kappa} \frac{v^{p-2}}{\|v\|_{L^p(\mathcal{C})}^{(p-2)/p}} v .$$



ETAPE 1 : descente par gradient conjugué  $u^* \longrightarrow u$  .

ETAPE 2 : avancement sur la branche  $\tilde{\kappa} \rightarrow \kappa'$   $-\Delta v + \mu' v = \kappa' \frac{v^{p-2}}{\|v\|_{L^p(\mathcal{C})}^{(p-2)/p}} v$  .

ETAPE 3 : resolution à  $\kappa'$  fixé  $-\Delta v_{k+1} + \mu_{k+1} v_{k+1} = \kappa' \frac{v_k^{p-2}}{\|v_k\|_{L^p(\mathcal{C})}^{(p-2)/p}} v_{k+1}$  .

## Calculs pour $\theta = 1$ - II

ETAPE 3 : resolution à  $\kappa'$  fixé

$$-\Delta v_{k+1} + \mu_{k+1} v_{k+1} = \kappa' \frac{v_k^{p-2}}{\|v_k\|_{L^p(C)}^{(p-2)/p}} v_{k+1} .$$

ETAPE 3' : resolution à  $\kappa'$  fixé

$$-\Delta v_{k+1} - \kappa' \frac{v_k^{p-2}}{\|v_k\|_{L^p(C)}^{(p-2)/p}} v_{k+1} = -\mu_{k+1} v_{k+1} .$$

et  $-\mu_{k+1}$  est la plus petite valeur propre de l'opérateur  $-\Delta - \kappa' \frac{v_k^{p-2}}{\|v_k\|_{L^p(C)}^{(p-2)/p}} .$

**REMARQUE :** nous avons montré que la suite  $-\mu_{k+1}$  est décroissante et bornée inférieurement.

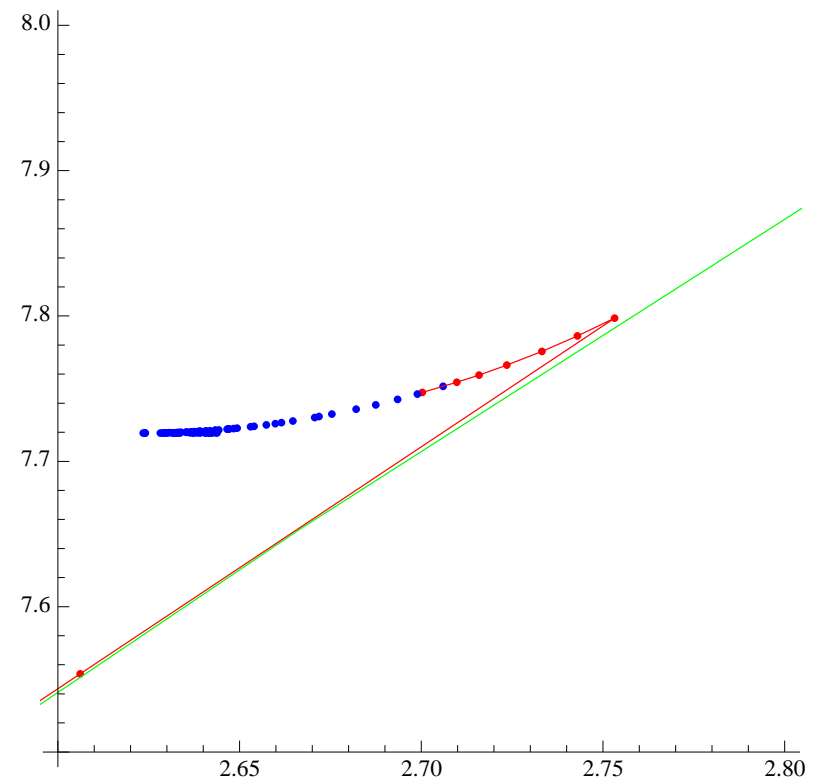
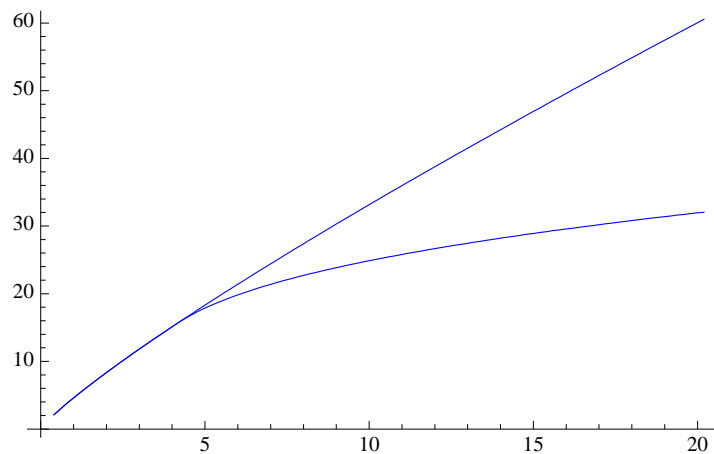
Donc, CONVERGENCE !



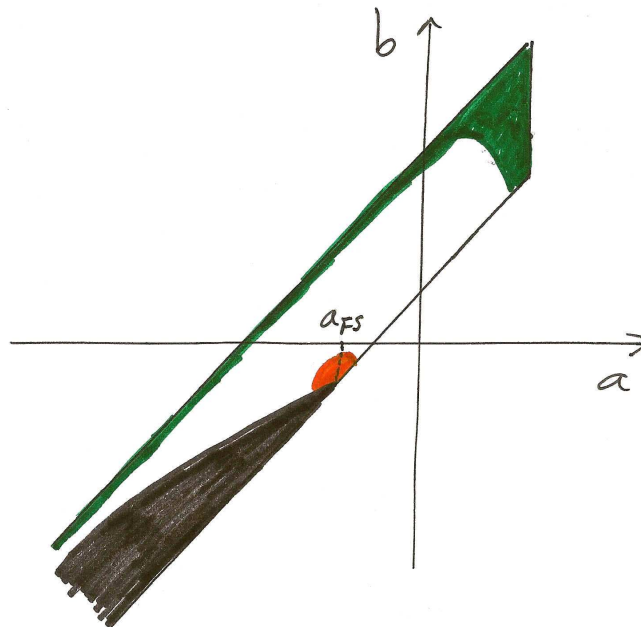
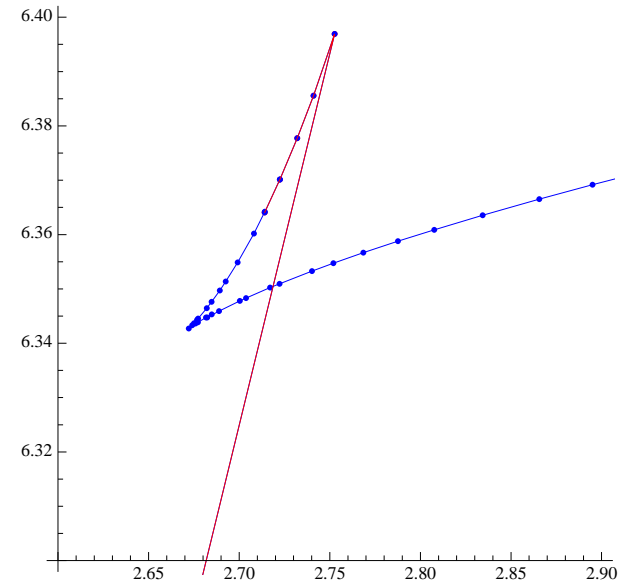
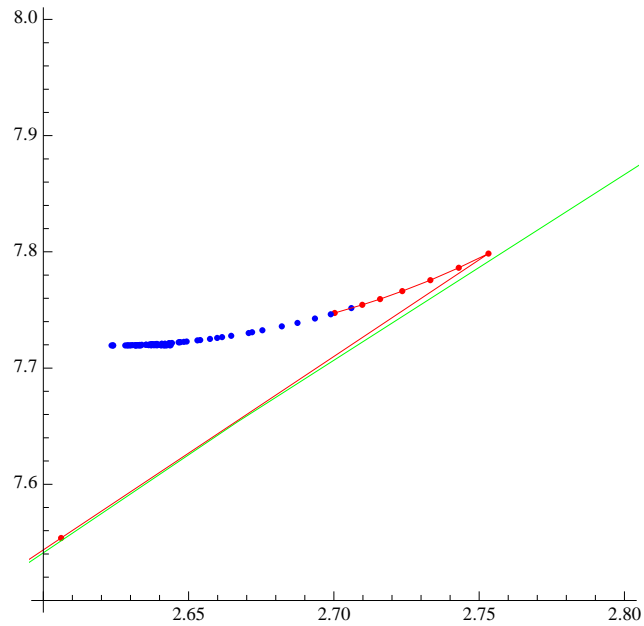
# Calculs pour $\theta \neq 1$

$$-\Delta v + \mu v = \kappa v^{p-2} v \quad \longrightarrow \quad -\Delta v + \left( \frac{1-\theta}{\theta} t[v] + \Lambda \right) v = \kappa v^{p-2} v .$$

avec  $\mu = \frac{1-\theta}{\theta} t[v] + \Lambda$  ,  $t[v] := \frac{\|\nabla v\|_{L^2(\mathcal{C})}^2}{\|v\|_{L^2(\mathcal{C})}^2}$  .



# Calculs pour $\theta \neq 1$ - SUITE - avec MATHEMATICA



Un grand merci à Frédéric Hecht pour  
son aide et sa patience !